



**ELEKTROTEHNIČKI FAKULTET U BEOGRADU**  
**ODSEK ZA ELEKTRONIKU**

**Milan Prokin      Radivoje Đurić**

# **Redukovane laboratorijske vežbe iz elektronike 1**

**ANALOGNI DEO**

**Beograd, 2020.**

**Sadržaj**

<b>1.1. OPERACIONI POJAČAVAČ</b>	<b>1</b>
<b>1.2. INTEGRATOR I PRECIZNI USMERAČ</b>	<b>5</b>
<b>2.1. SABIRAČ, DIFERENCIJALNI I INSTRUMENTACIONI POJAČAVAČ</b>	<b>10</b>
<b>2.2. FREKVENCIJSKE KARAKTERISTIKE POJAČAVAČA</b>	<b>15</b>
<b>3. ELEKTRIČNE KARAKTERISTIKE KORIŠĆENIH POLUPROVODNIČKIH KOMPONENTI</b>	<b>19</b>
<b>4. LITERATURA</b>	<b>25</b>
<b>5. EVIDENCIJA IZRADA LABORATORIJSKIH VEŽBI</b>	<b>26</b>

## 1.1. OPERACIONI POJAČAVAČ

### OPIS VEŽBE

Koriste se šeme pojačavača prikazane na slikama 1.1, 1.2, 1.3 i 1.4, koje treba ostvariti na univerzalnoj radnoj ploči. Kola se napajaju iz dve baterije za napajanje  $V_{CC} = 12 \text{ V}$  i  $V_{EE} = -12 \text{ V}$ , koje treba priključiti na protobord.

Pri snimanju prenosnih karakteristika, na ulaz pojačavača se dovodi prostoperiodični napon iz signal generatora, koga takođe treba priključiti na protobord.

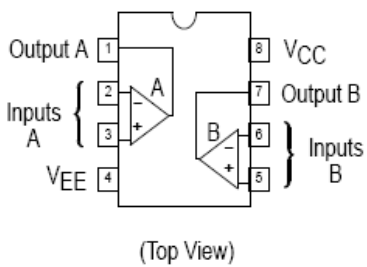
Merenje jednosmernih i promenljivih napona obavlja se pomoću osciloskopa. Za snimanje prenosnih karakteristika koristi se osciloskop u modu prikazivanja XY.

### Pribor, instrumenti i materijal

- dva izvora za napajanje 12V
- osciloskop
- signal generator
- univerzalna radna ploča
- operacioni pojačavač MC 1458
- otpornici tolerancije 1% i snage 0,25 W sledećih vrednosti:  $1\text{k}\Omega$ ,  $10\text{k}\Omega$ ,  $100\text{k}\Omega$ ,  $1\text{M}\Omega$ ,  $10\text{M}\Omega$

### PIN CONNECTIONS

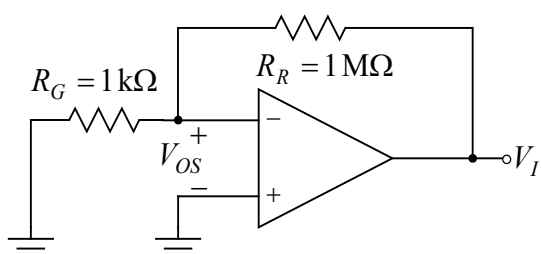
Na slici 1.0 prikazana je šema sa rasporedom priključaka operacionih pojačavača u integriranom kolu sa oznakom MC 1458. Na kraju priručnika su date karakteristike ovih operacionih pojačavača.



Slika 1.0 Raspored priključaka integrisanog kola MC 1458

### ZADATAK

#### 1. MERENJE NAPONSKOG OFSETA $V_{OS}$ OPERACIONOG POJAČAVAČA



Slika 1.1. Kolo za merenje naponskog ofseta operacionog pojačavača.

Merenje se obavlja pomoću kola prikazanog na slici 1.1. Pre merenja je potrebno izvesti vezu, koja definiše zavisnost izlaznog napona od napona ofseta

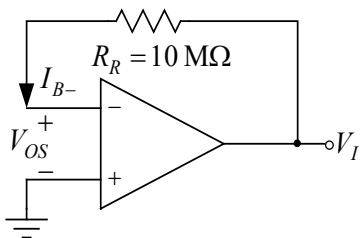
$$V_I \cong V_{OS} \left(1 + \frac{R_R}{R_G}\right).$$

Merenje naponskog ofseta se obavlja merenjem izlaznog napona.

### Postupak pri merenju

1. Na protobordu povezati šemu prema slici 1.1.
2. Na izlaz kola vezati osciloskop.
3. Uključiti izvore za napajanje ( $V_{CC}$  i  $V_{EE}$ ).
4. Izmeriti izlazni napon  $V_I = \underline{\hspace{2cm}}$  [V] .
5. Izračunati naponski ofset  $V_{OS} = \underline{\hspace{2cm}}$  [V] .

## 2. MERENJE ULAZNE STRUJE $I_{B-}$ OPERACIONOG POJAČAVAČA



Merenje se obavlja pomoću kola prikazanog na slici 1.2. Pre merenja je potrebno izvesti vezu, koja definiše zavisnost izlaznog napona od napona ofseta i ulazne struje minus priključka operacionog pojačavača

$$V_I = V_{OS} + R_R I_{B-}.$$

Merenje ulazne struje minus priključka se obavlja merenjem izlaznog napona.

**Slika 1.2. Kolo za merenje ulazne struje minus priključka operacionog pojačavača.**

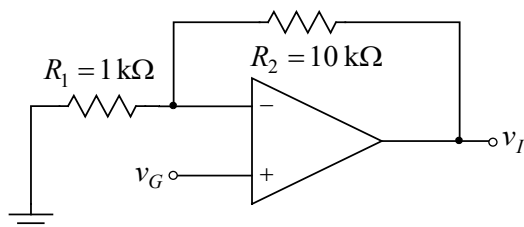
### Postupak pri merenju

1. Na protobordu povezati šemu prema slici 1.2.
2. Na izlaz kola vezati osciloskop.
3. Uključiti izvore za napajanje ( $V_{CC}$  i  $V_{EE}$ ).
4. Izmeriti izlazni napon  $V_I = \underline{\hspace{2cm}}$  [V] .
5. Izračunati ulaznu struju minus priključka  $I_{B-} = \underline{\hspace{2cm}}$  [nA] .

## 3. MERENJE PRENOSNE KARAKTERISTIKE NEINVERTUJUĆEG POJAČAVAČA

Merenje se obavlja pomoću kola prikazanog na slici 1.3. Pre merenja je potrebno izvesti vezu, koja definiše zavisnost izlaznog napona od napona na ulazu pojačavača

$$v_I = v_g \left(1 + \frac{R_2}{R_1}\right).$$



Merenje prenosne karakteristike neinvertujućeg pojačavača se obavlja merenjem izlaznog napona.

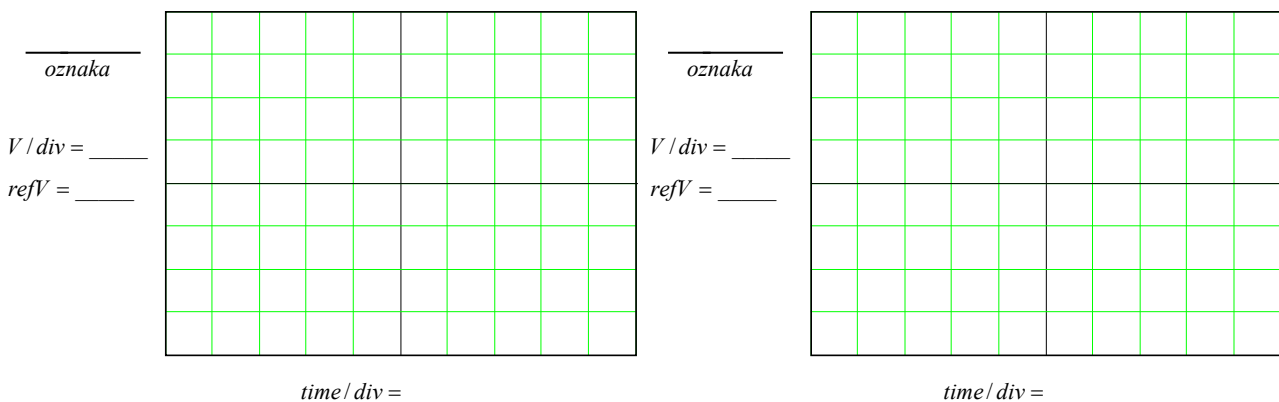
### Postupak pri merenju

1. Na protobordu povezati šemu prema slici 1.3.
2. Na izlaz kola vezati drugi kanal osciloskopa.
3. Uključiti izvore za napajanje ( $V_{CC}$  i  $V_{EE}$ ).

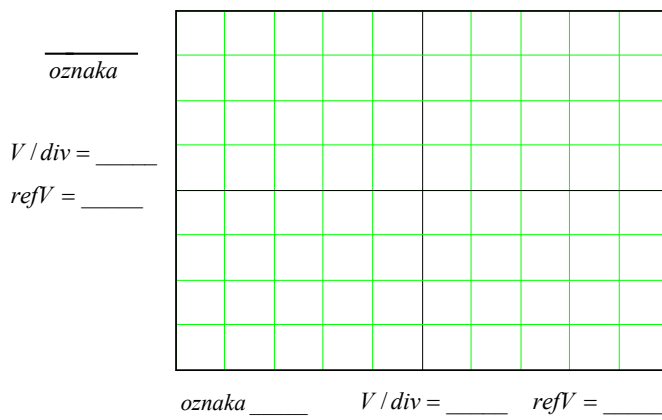
**Slika 1.3. Neinvertujući pojačavač.**

4. Na ulaz kola dovesti generator.
5. Uključiti generator.
6. Na ulaz kola vezati prvi kanal osciloskopa.
7. Podesiti generator, tako da na izlazu generise prostoperiodični napon amplitude  $V_{gm} = 0.5$  V i učestanosti  $f = 1$  kHz .
8. Na grafike prikazane na slici 1.3a ucrtati vremenske dijagrame ulaznog i izlaznog napona.
9. Povećati amplitudu napona generatora na  $V_{gm} = 2$  V .
10. Prebaciti osciloskop u mod prikazivanja XY.

11. Na grafik prikazan na slici 1.3b ucrtati prenosnu karakteristiku neinvertujućeg pojačavača.



Slika 1.3a Eksperimentalno određeni vremenski oblici ulaznog i izlaznog napona neinvertujućeg pojačavača



Slika 1.3b Eksperimentalno određena prenosna karakteristika neinvertujućeg pojačavača

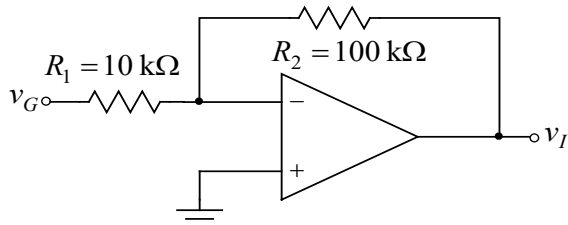
#### 4. MERENJE PRENOSNE KARAKTERISTIKE INVERTUJUĆEG POJAČAVAČA

Merenje se obavlja pomoću kola prikazanog na slici 1.4. Pre merenja je potrebno izvesti vezu, koja definiše zavisnost izlaznog napona od napona na ulazu pojačavača

$$v_I = -\frac{R_2}{R_1} v_g .$$

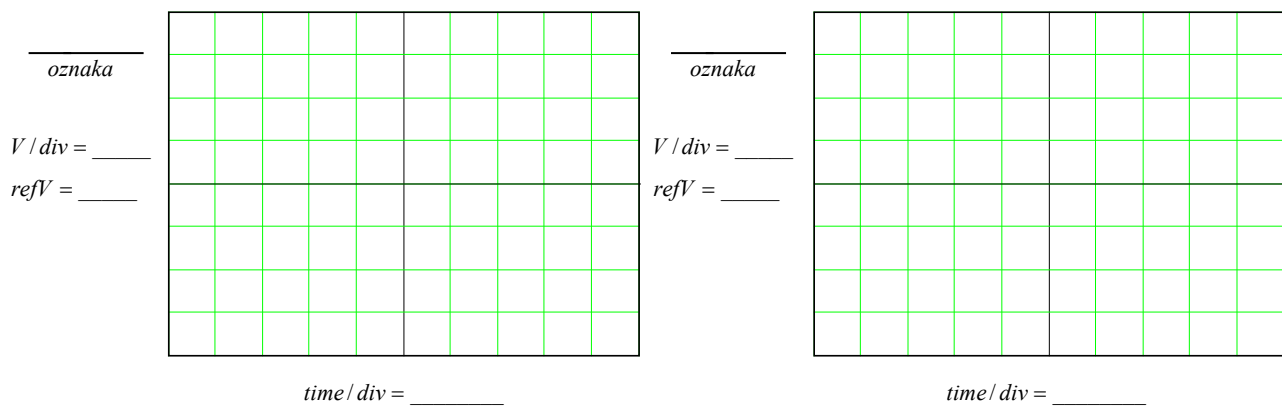
Merenje prenosne karakteristike invertujućeg pojačavača se obavlja merenjem izlaznog napona.

##### Postupak pri merenju

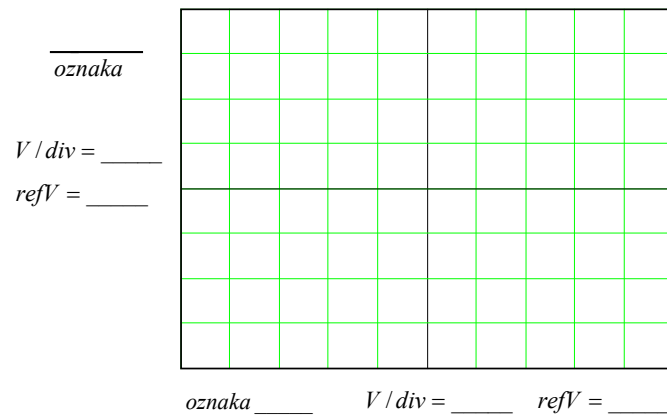


Slika 1.4. Invertujući pojačavač.

6. Na ulaz kola vezati prvi kanal osciloskopa.
7. Podesiti generator, tako da na izlazu generise prostoperiodični napon amplitude  $V_{gm} = 0.5 \text{ V}$  i učestanosti  $f = 1 \text{ kHz}$ .
8. Na grafike prikazane na slici 1.4a ucrtati vremenske dijagrame ulaznog i izlaznog napona.
9. Povećati amplitudu napona generatora na  $V_{gm} = 2 \text{ V}$ .
10. Prebaciti osciloskop u mod prikazivanja XY.
11. Na grafik prikazan na slici 1.4b ucrtati prenosnu karakteristiku invertujućeg pojačavača.



**Slika 1.4a Eksperimentalno određeni vremenski oblici ulaznog i izlaznog napona invertujućeg pojačavača**



**Slika 1.4b Eksperimentalno određena prenosna karakteristika invertujućeg pojačavača**

## 1.2. INTEGRATOR I PRECIZNI USMERAČ

### OPIS VEŽBE

Koriste se šeme pojačavača prikazane na slikama 2.2, 2.4 i 2.6, koje treba ostvariti na univerzalnoj radnoj ploči (protobord).

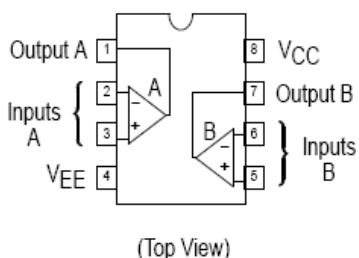
Kola se napajaju iz dve baterije za napajanje  $V_{CC} = 12 \text{ V}$  i  $V_{EE} = -12 \text{ V}$ , koje treba priključiti na protobord.

Na protobord se dovode i signali iz generatora signala.

Merenje jednosmernih i promenljivih napona obavlja se pomoću osciloskopa. Za snimanje prenosnih karakteristika koristi se osciloskop u modu prikazivanja XY.

### Pribor, instrumenti i materijal

- dve baterije za napajanje od 12V
- osciloskop
- signal generator
- univerzalna radna ploča
- operacioni pojačavač MC1458
- diode 1N4148  $\times 2$
- trimer-potenciometar  $5\text{k}\Omega$
- otpornici tolerancije 1% i snage  $0,25 \text{ W}$  sledećih vrednosti:  $1\text{k}\Omega$ ,  $10\text{k}\Omega \times 2$ ,  $1\text{M}\Omega \times 2$  i  $10\text{M}\Omega$
- keramički kondenzator  $10\text{nF}$



Na slici 2.1 prikazana je šema sa rasporedom priključaka operacionih pojačavača u integrisanom kolu sa oznakom MC1458. Operacioni pojačavač ima ulazni diferencijalni pojačavač sa NPN tranzistorima. Električne karakteristike ovog operacionog pojačavača date su u prilogu na kraju priručnika.

Slika 2.1. Raspored priključaka integrisanog pojačavača MC1458.

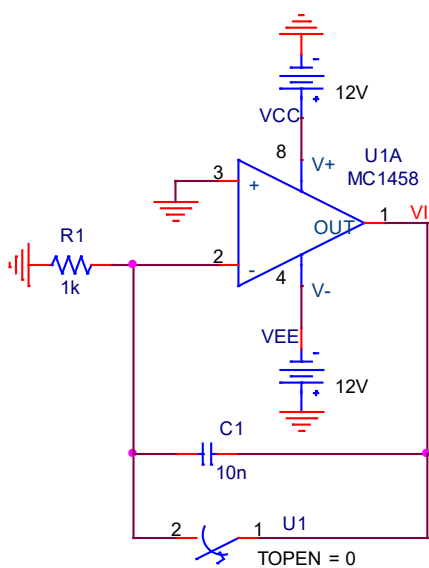
### ZADATAK

#### 1. MERENJE NAPONSKOG OFSETA $V_{OS}$ OPERACIONOG POJAČAVAČA POMOĆU INTEGRATORA

Merenje se obavlja pomoću kola prikazanog na slici 2.2.

Pre merenja je potrebno izvesti vezu koja definiše zavisnost izlaznog napona od vremena sve dok operacioni pojačavač ne ode u zasićenje

$$v_I(t) = V_{OS} + \frac{V_{OS}}{R_1 C_1} t + \frac{I_B^-}{C_1} t.$$



Slika 2.2. Kolo za merenje naponskog ofseta pomoću integratora.

Kada je  $\frac{V_{OS}}{R_1} \gg I_B^-$ , izlazni napon je

$$v_I(t) \approx V_{OS} + \frac{V_{OS}}{R_1 C_1} t.$$

Merenje naponskog ofseta obavlja se merenjem vremena  $t_x$  za koje operacioni pojačavač ulazi u zasićenje. Međutim, zbog nepoznatog polariteta naponskog ofseta, izlaz operacionog pojačavača može biti u pozitivnom ili negativnom zasićenju. U prvom slučaju je

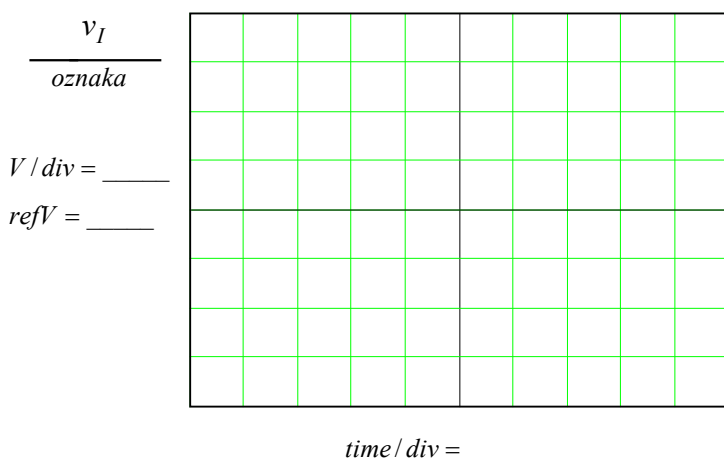
$$V_{OS} \approx v_{I_{\max}} \frac{R_1 C_1}{t_x}, \quad v_{I_{\max}} \gg V_{OS},$$

dok je u drugom slučaju

$$V_{OS} \approx v_{I_{\min}} \frac{R_1 C_1}{t_x}.$$

### Postupak pri merenju

1. Na protobordu povezati šemu prema slici 2.2. Prekidač treba da je zatvoren.
2. Na izlaz kola vezati osciloskop, uključiti izvore za napajanje ( $V_{CC}$  i  $V_{EE}$ ), a zatim otvoriti prekidač.
3. Operacioni pojačavač će, zavisno od polariteta naponskog ofseta  $V_{OS}$ , otići u pozitivno ili u negativno zasićenje.
4. Potom zatvoriti prekidač, a zatim podesiti **Triger** na osciloskopu u zavisnosti da li je izlaz operacionog pojačavača bio u pozitivnom ili negativnom zasićenju.
5. Pritiskom na taster **TRIG MENU** otvoriti meni za sinhronizaciju (trigerovanje) osciloskopa. U ovom meniju postaviti **Type** na **Edge**, **Slope** na **Rising** (ukoliko je operacioni pojačavač bio u pozitivnom zasićenju) ili **Falling** (ukoliko je operacioni pojačavač bio u negativnom zasićenju).
6. Pritiskom na taster **SINGLE SEQ** osciloskop je spreman da sledeću pojavu napona, čiji nivo će ga trigerovati, prikaže. Potenciometrom **Level** podesiti da referentni napon za sinhronizaciju bude 6V (ukoliko je operacioni pojačavač bio u pozitivnom zasićenju) ili -6V (ukoliko je operacioni pojačavač bio u negativnom zasićenju). Početnu vrednost vremenske baze postaviti na 250 ms.



Slika 2.3. Eksperimentalno određen vremenski oblik izlaznog napona pomoću koga se određuje naponski ofset operacionog pojačavača.

7. Potom otvoriti prekidač i pričekati nekoliko sekundi dok se na osciloskopu ne pojavi dijagram punjenja (praznjenja) kondenzatora i ulazak operacionog pojačavača u zasićenje. Ukoliko se na osciloskopu ne vidi kompletan dijagram ulaska operacionog pojačavača u zasićenje, povećati vremensku bazu i ponoviti postupak iz tačke 6. Ukoliko je potrebno koristiti i taster **RUN/STOP**.
8. Dobijeni vremenski dijagram izlaznog napona ucrtati u grafik

prikazan na slici 2.3.

9. Na osnovu vremenskog dijagrama na osciloskopu izmeriti vreme za koje operacioni pojačavač odlazi u zasićenje, a zatim i vrednost naponskog ofseta ovog operacionog pojačavača (voditi računa i o znaku naponskog ofseta)

$$t_x = \underline{\hspace{2cm}}, V_{OS} = \underline{\hspace{2cm}}.$$

## 2. MERENJE ULAZNE STRUJE POLARIZACIJE $I_B^-$ OPERACIONOG POJAČAVAČA POMOĆU INTEGRATORA

Merenje se obavlja pomoću kola prikazanog na slici 2.4. I ovde se koristi relacija

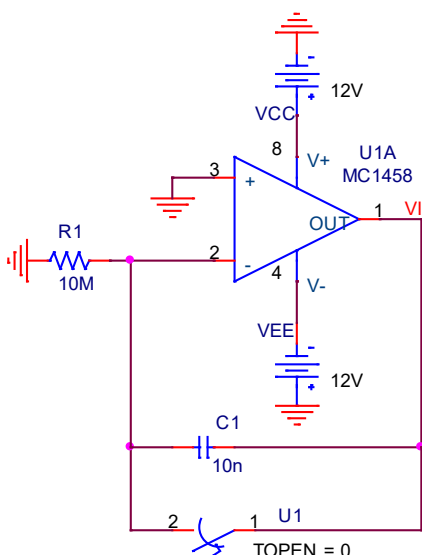
$$v_I(t) = V_{OS} + \frac{V_{OS}}{R_1 C_1} t + \frac{I_B^-}{C_1} t.$$

Međutim, za razliku od prethodnih merenja, ovde je  $R_1 = 10 M\Omega$ , što znači da je

$$\frac{V_{OS}}{R_1} \ll I_B^-.$$

Merenje ulazne struje polarizacije obavlja se merenjem vremena  $t_y$  za koje će operacioni pojačavač ući u pozitivno zasićenje

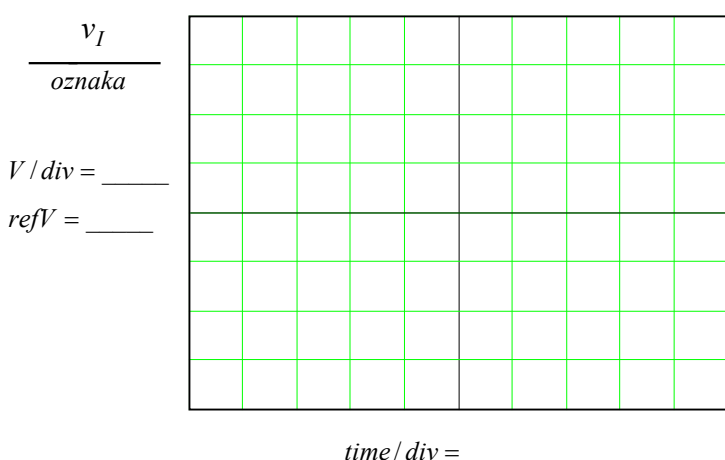
$$I_B^- = v_{I \max} \frac{C_1}{t_y}, \frac{V_{OS}}{R_1} \ll I_B^-, v_{I \max} \gg V_{OS}.$$



Slika 2.4. Kolo za merenje polarizacione struje  $I_B^-$  pomoću integratora.

### Postupak pri merenju

- Na protobordu povezati šemu prema slici 2.4. Prekidač treba da je zatvoren.
- Na izlaz kola vezati osciloskop, uključiti izvore za napajanje ( $V_{CC}$  i  $V_{EE}$ ), a zatim otvoriti prekidač.
- Po otvaranju prekidača, zbog polarizacione struje koja puni kondenzator, operacioni pojačavač će otići u pozitivno u zasićenje.
- Potom zatvoriti prekidač, a zatim podešiti **Trigger** na osciloskopu.



Slika 2.5. Eksperimentalno određen vremenski oblik izlaznog napona pomoću koga se određuje polarizaciona struja  $I_B^-$  operacionog pojačavača.

- Pritiskom na taster **TRIG MENU** otvoriti meni za sinhronizaciju (trigerovanje) osciloskopa. U ovom meniju postaviti **Type** na **Edge**, **Slope** na **Rising**.
- Pritiskom na taster **SINGLE SEQ** osciloskop je spremjan da sledeću povalu napona, čiji nivo će ga trigerovati, prikaže. Potenciometrom **Level** podešiti da referentni napon za sinhronizaciju bude 6V. Početnu vrednost vremenske baze postaviti na 250 ms.
- Potom otvoriti prekidač i pričekati nekoliko sekundi dok

se na osciloskopu ne pojavi dijagram punjenja kondenzatora i ulazak operacionog pojačavača u zasićenje. Ukoliko se na osciloskopu ne vidi kompletan dijagram ulaska operacionog pojačavača u zasićenje, povećati vremensku bazu i ponoviti postupak iz tačke 6. Ukoliko je potrebno koristiti i taster **RUN/STOP**.

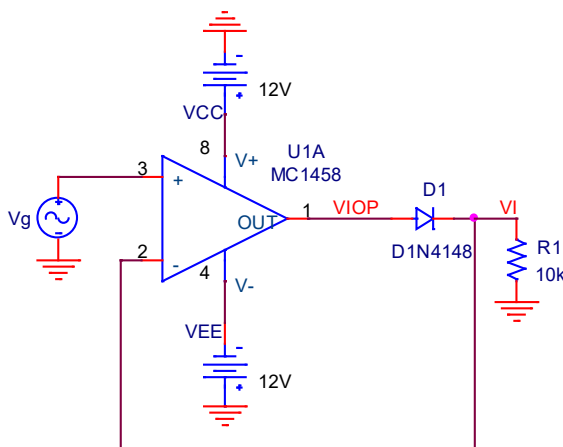
8. Dobijeni vremenski dijagram izlaznog napona ucrtati u grafik prikazan na slici 2.5.
9. Na osnovu vremenskog dijagrama na osciloskopu izmeriti vreme za koje operacioni pojačavač odlazi u zasićenje, a zatim i vrednost polarizacione struje ovog operacionog pojačavača

$$t_y = \underline{\hspace{2cm}}, I_B^- = \underline{\hspace{2cm}}.$$

### 3. PRECIZNI USMERAČI PRECIZNI USMERAČ SA JEDNOM DIODOM

Na slici 2.6 je prikazano kolo preciznog usmarača sa jednom diodom. Izlazni napon je

$$v_I = \begin{cases} v_G, & v_G \geq 0 \\ 0, & v_G \leq 0 \end{cases}.$$

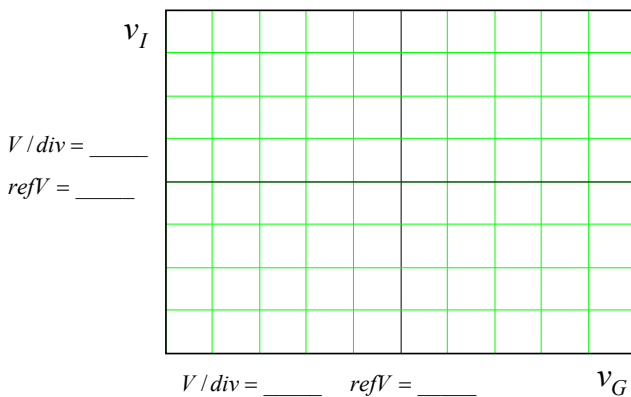


Slika 2.6. Precizni usmarač sa jednom diodom.

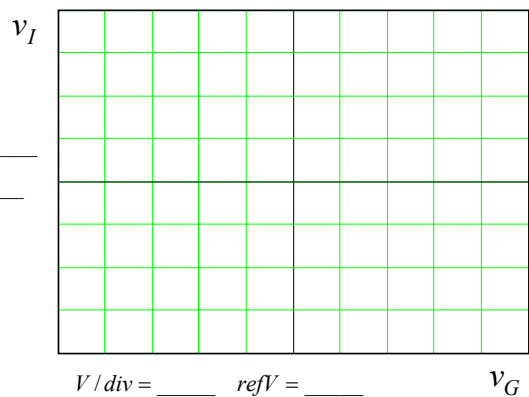
#### Postupak pri merenju

1. Na protobordu povezati šemu prema slici 2.6.
2. Na izlaz kola vezati drugi kanal osciloskopa, a na ulaz prvi.
3. Osciloskop podesiti za XY merenja. Pritiskom na taster **DISPLAY** otvorice se meni u kome sa **FORMAT** treba podesiti XY merenja.
4. Na ulaz kola dovesti prostoperiodični napon  $v_G = V_m \sin(2\pi ft)$ ,  $V_m = 10 \text{ V}$ ,  $f = 100 \text{ Hz}$ ,

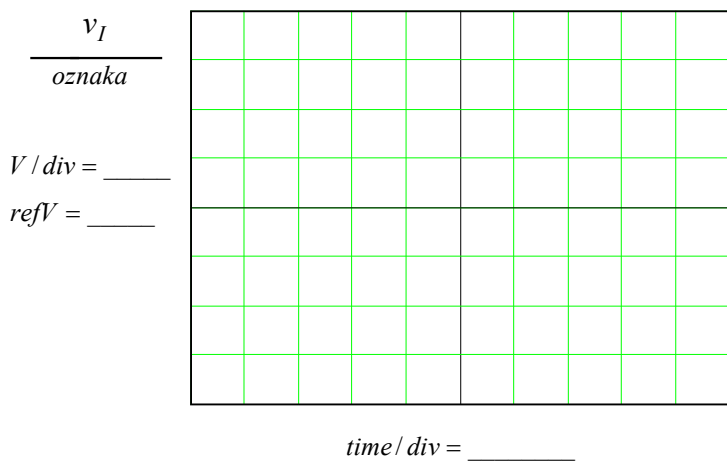
a zatim na grafik sa slike 2.7 ucrtati zavisnost  $v_I = f(v_G)$ .



Slika 2.7. Eksperimentalno određena zavisnost  $v_I = f(v_G)$  preciznog usmarača sa jednom diodom.



Slika 2.8. Eksperimentalno određena zavisnost  $v_{IOP} = g(v_G)$  preciznog usmarača sa jednom diodom.



Slika 2.9. Eksperimentalno određen izlazni napon  $v_I(t)$  preciznog usmeraća sa jednom diodom.

5. Drugi kanal osciloskopa postaviti na izlaz operacionog pojačavača i snimiti zavisnost  $v_{IOP} = g(v_G)$ . Dobijeni dijagram ucrtati na sliku 2.8.
6. Na ulaz kola dovesti prostoperiodični napon  $v_G = V_m \sin(2\pi ft)$ ,  $V_m = 1\text{V}$ ,  $f = 5\text{kHz}$ , a zatim na grafik sa slike 2.9 ucrtati vremenski oblik izlaznog napona  $v_I(t)$ .

## 2.1. SABIRAČ, DIFERENCIJALNI I INSTRUMENTACIONI POJAČAVAČ

### OPIS VEŽBE

Koriste se šeme pojačavača prikazane na slikama 3.1, 3.2 i 3.3, koje treba ostvariti na protobordu. Kolo se napaja iz dve baterije za napajanje  $V_{CC} = 12 \text{ V}$  i  $V_{EE} = -12 \text{ V}$ , koje treba priključiti na protobord.

Pri snimanju prenosnih karakteristika i izlaznog napona, na ulaz pojačavača se dovodi prostoperiodični napon iz signal generatora, koga takođe treba priključiti na protobord.

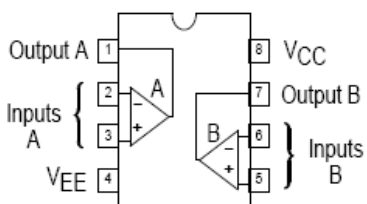
Merenje jednosmernih i promenljivih napona obavlja se pomoću osciloskopa. Za snimanje prenosnih karakteristika koristi se osciloskop u modu prikazivanja XY.

### Pribor, instrumenti i materijal

- dva izvora za napajanje 12V
- osciloskop
- signal generator
- univerzalna radna ploča
- operacioni pojačavač MC 1458
- otpornici tolerancije 1% i snage 0,25 W sledećih vrednosti:  $1 \text{ k}\Omega$ ,  $6 \times 10 \text{ k}\Omega$ ,  $3 \times 100 \text{ k}\Omega$ .

### PIN CONNECTIONS

Na slici 3.0 prikazana je šema sa rasporedom priključaka operacionih pojačavača u integriranom kolu sa oznakom MC 1458. Na kraju priručnika date su karakteristike ovih operacionih pojačavača.

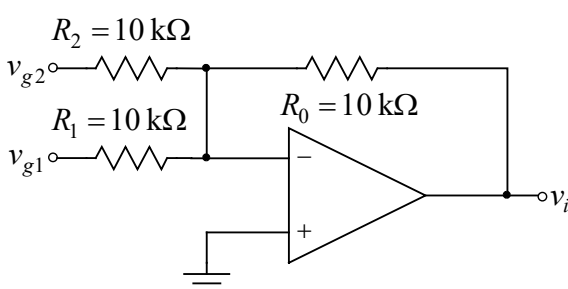


(Top View)

Slika 3.0 Raspored priključaka integrisanog kola MC 1458

### ZADATAK

#### 1. SABIRAČ



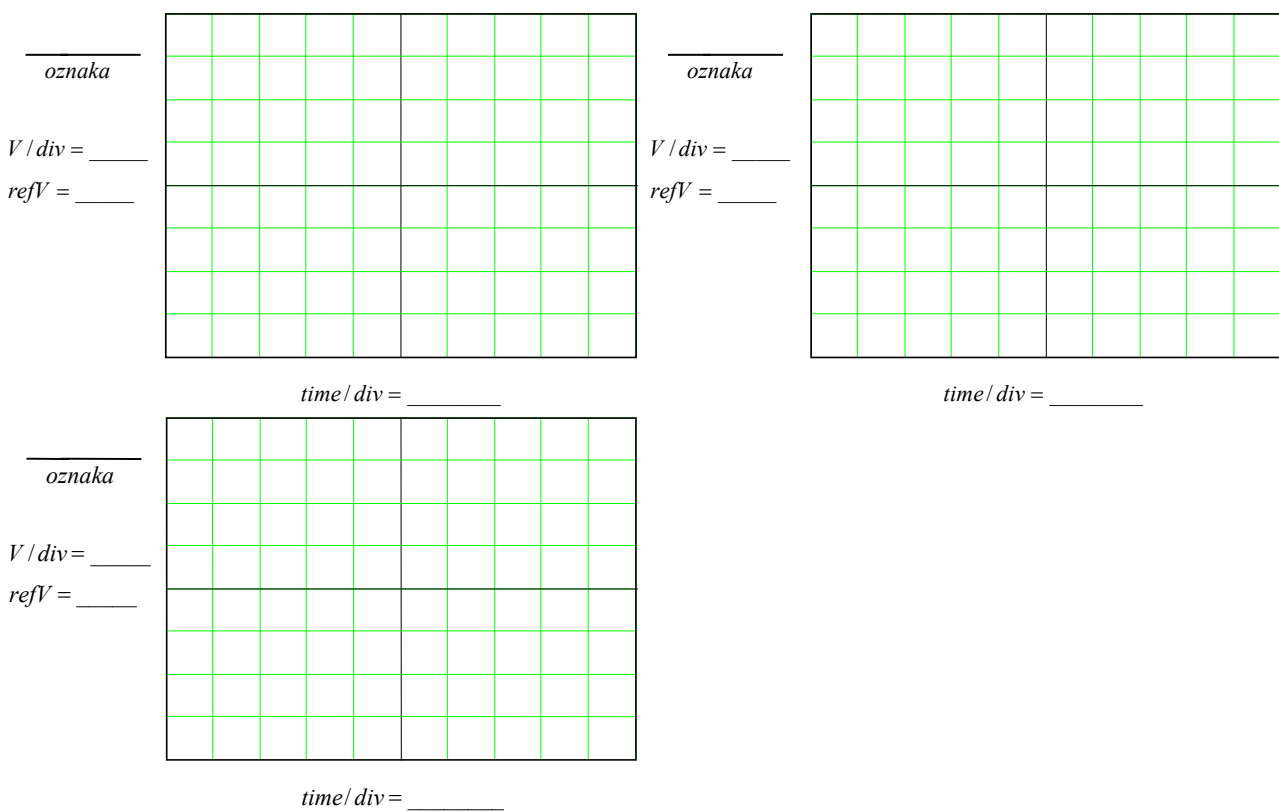
Merenje se obavlja pomoću kola prikazanog na slici 3.1. Pre merenja je potrebno izvesti vezu, koja definiše zavisnost izlaznog napona od napona na ulazu pojačavača:

$$v_i = -\frac{R_0}{R_1} v_{g1} - \frac{R_0}{R_2} v_{g2}.$$

Slika 3.1. Sabirač.

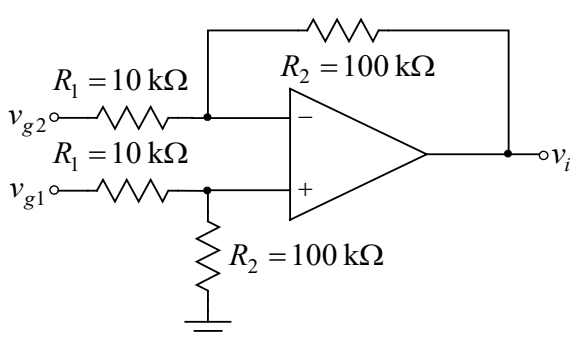
### Postupak pri merenju

1. Na protobordu povezati šemu prema slici 3.1.
2. Na izlaz kola vezati osciloskop.
3. Uključiti izvore za napajanje ( $V_{CC}$  i  $V_{EE}$ ).
4. Na ulaz kola  $v_{g1}$  dovesti generator.
5. Uključiti generator.
6. Podesiti generator, tako da na njegovom izlazu generiše prostoperiodični napon amplitude  $V_{gm} = 5 \text{ V}$  i učestanosti  $f = 1 \text{ kHz}$ .
7. Na ulaz kola  $v_{g2}$  dovesti jednosmerni napon od 5 V.
8. Na grafike prikazane na slici 3.1a ucrtati vremenske dijagrame ulaznih i izlaznog napona.



**Slika 3.1a.** Eksperimentalno određeni vremenski oblici ulaznih i izlaznog napona sabirača.

## 2. DIFERENCIJALNI POJAČAVAČ



**Slika 3.2.** Diferencijalni pojačavač.

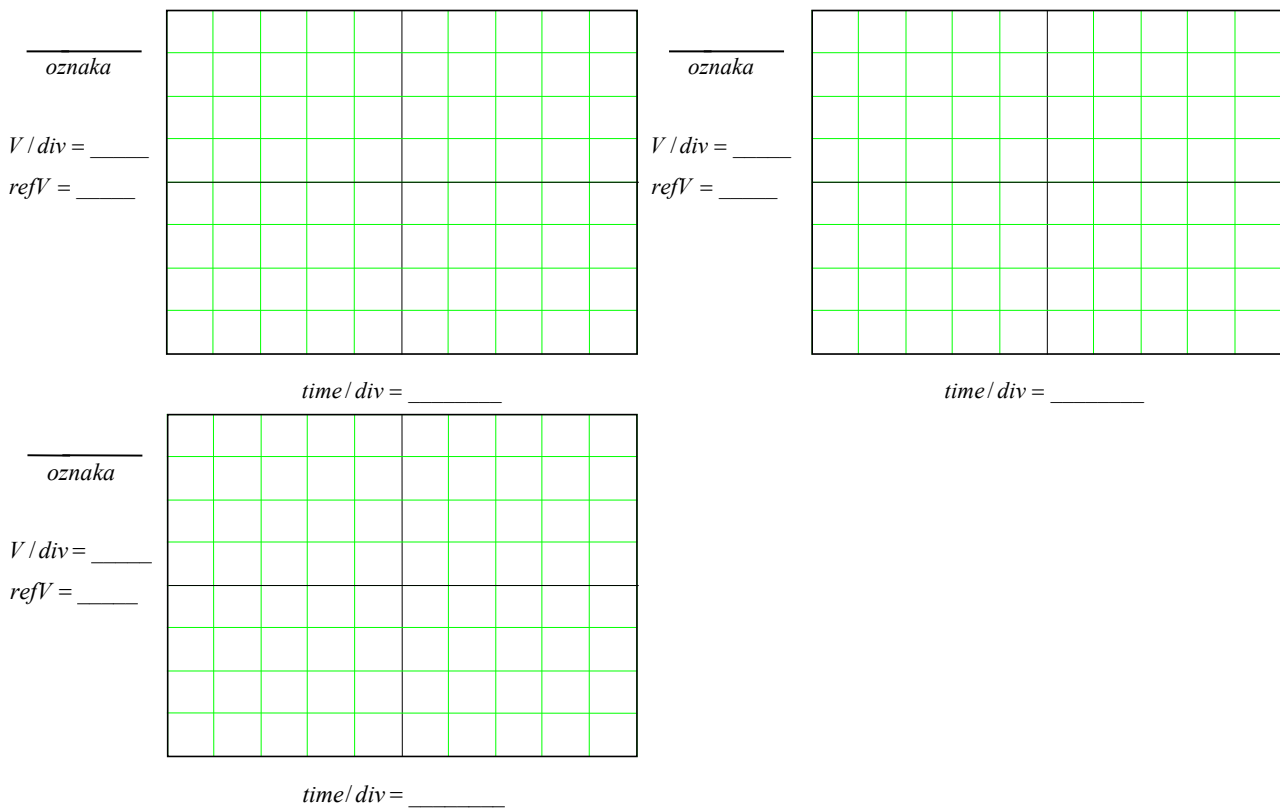
Merenje se obavlja pomoću kola prikazanog na slici 3.2. Pre merenja je potrebno izvesti vezu, koja definiše zavisnost izlaznog napona od napona na ulazu pojačavača:

$$v_i = \frac{R_2}{R_1} (v_{g1} - v_{g2}).$$

### Postupak pri merenju

1. Na protobordu povezati šemu prema slici 3.2.
2. Na izlaz kola vezati osciloskop.
3. Uključiti izvore za napajanje ( $V_{CC}$  i  $V_{EE}$ ).

4. Na ulaz kola  $v_{g1}$  dovesti generator.
5. Uključiti generator.
6. Podesiti generator, tako da na njegovom izlazu generiše prostoperiodični napon amplitude  $V_{gm} = 0.4 \text{ V}$  i učestanosti  $f = 1 \text{ kHz}$ .
7. Na ulaz kola  $v_{g2}$  dovesti jednosmerni napon od  $0.4 \text{ V}$ .
8. Na grafike prikazane na slici 3.2a ucrtati vremenske dijagrame ulaznih i izlaznog napona.



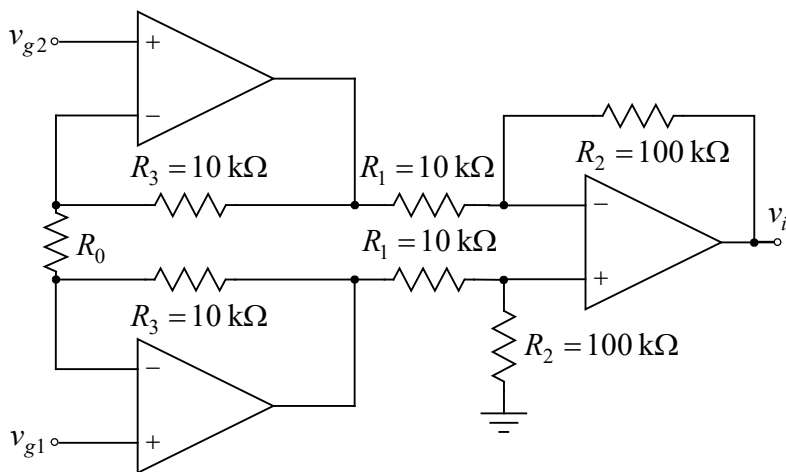
Slika 3.2a. Eksperimentalno određeni vremenski oblici ulaznih i izlaznog napona diferencijalnog pojačavača.

### 3. INSTRUMENTACIONI POJAČAVAČ

Merenje se obavlja pomoću kola prikazanog na slici 3.3. Pre merenja je potrebno izvesti vezu, koja definiše zavisnost izlaznog napona od napona na ulazu pojačavača:

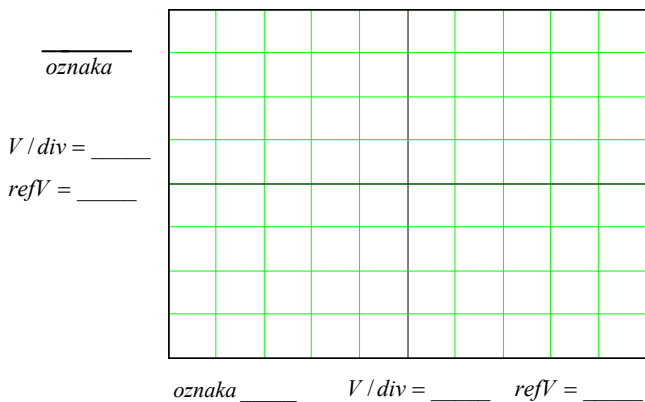
$$v_i = -\frac{R_2}{R_1} \left(1 + 2 \frac{R_3}{R_0}\right) (v_{g1} - v_{g2}).$$

Merenje prenosne karakteristike instrumentacionog pojačavača se obavlja merenjem izlaznog napona.

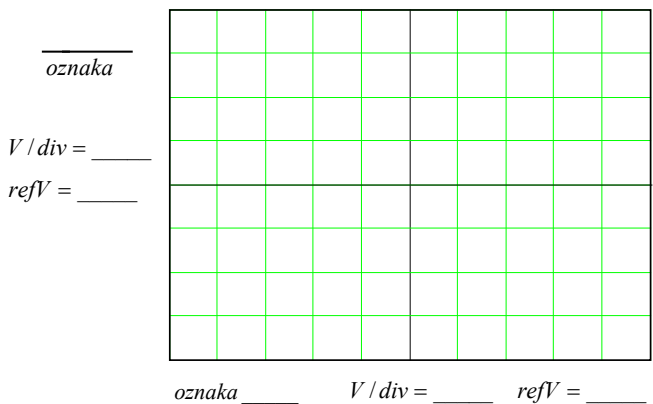


Slika 3.3. Instrumentacioni pojačavač.

7. Na ulaz kola  $v_{g1}$  vezati prvi kanal osciloskopa.
8. Podesiti generator, tako da na njegovom ulazu generiše prostoperiodični napon amplitude  $V_{gm} = 1.5V$  i učestanosti  $f = 1\text{kHz}$ .
9. Prebaciti osciloskop u mod prikazivanja XY.
10. Na grafik prikazan na slici 3.3a ucrtati prenosnu karakteristiku instrumentacionog pojačavača.



Slika 3.3a. Eksperimentalno određena prenosna karakteristika instrumentacionog pojačavača.



Slika 3.3b. Eksperimentalno određena prenosna karakteristika instrumentacionog pojačavača.

prostoperiodični napon amplitude  $V_{gm} = 0.8V$  i učestanosti  $f = 1\text{kHz}$ .

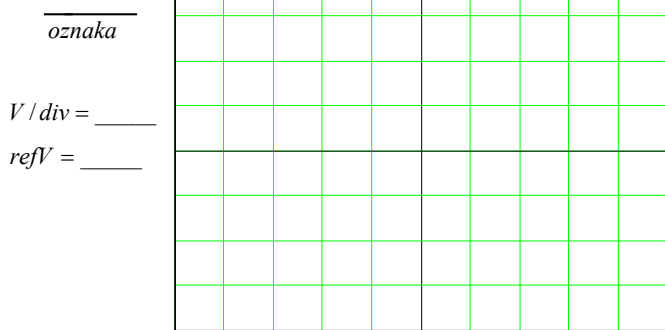
### Postupak pri merenju

1. Na protobordu povezati šemu prema slici 3.3, tako da je  $R_0 \rightarrow \infty$ .
2. Na izlaz kola vezati drugi kanal osciloskopa.
3. Uključiti izvore za napajanje ( $V_{CC}$  i  $V_{EE}$ ).
4. Na ulaz kola  $v_{g1}$  dovesti generator.
5. Ulaz kola  $v_{g2}$  spojiti na masu.
6. Uključiti generator.

11. Isključiti generator.
12. Isključiti izvore za napajanje ( $V_{CC}$  i  $V_{EE}$ ).
13. Na protobordu podesiti  $R_0 = 1\text{k}\Omega$ .
14. Uključiti izvore za napajanje ( $V_{CC}$  i  $V_{EE}$ ).
15. Uključiti generator.
16. Podesiti generator, tako da na njegovom izlazu generiše prostoperiodični napon amplitude  $V_{gm} = 80\text{ mV}$  i učestanosti  $f = 1\text{kHz}$ .

17. Na grafik prikazan na slici 3.3b ucrtati prenosnu karakteristiku instrumentacionog pojačavača.
18. Isključiti generator.
19. Isključiti izvore za napajanje ( $V_{CC}$  i  $V_{EE}$ ).
20. Na protobordu podesiti  $R_0 = 10\text{k}\Omega$ .
21. Uključiti izvore za napajanje ( $V_{CC}$  i  $V_{EE}$ ).
22. Uključiti generator.
23. Podesiti generator, tako da na njegovom izlazu generiše prostoperiodični napon amplitude  $V_{gm} = 0.8V$  i učestanosti  $f = 1\text{kHz}$ .

24. Na grafik prikazan na slici 3.3c ucrtati prenosnu karakteristiku instrumentacionog pojačavača.



oznaka \_\_\_\_\_  $V / \text{div} = \underline{\hspace{2cm}}$   $\text{ref}V = \underline{\hspace{2cm}}$

25. Isključiti generator.

26. Isključiti izvore za napajanje ( $V_{CC}$  i  $V_{EE}$ ).

Slika 3.3c. Eksperimentalno određena prenosna karakteristika instrumentacionog pojačavača.

## 2.2. FREKVENCIJSKE KARAKTERISTIKE POJAČAVAČA

### OPIS VEŽBE

Koriste se šeme pojačavača prikazane na slikama 4.2, 4.3 i 4.4, koje treba ostvariti na protobordu.

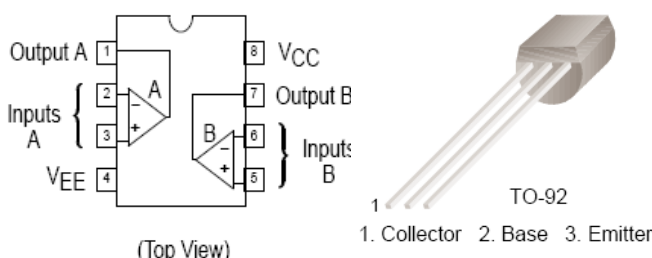
Kola se napajaju iz dve baterije za napajanje  $V_{CC} = 12 \text{ V}$  i  $V_{EE} = -12 \text{ V}$ , koje treba priključiti na protobord.

Na protobord se dovode i signali iz generatora signala.

Merenje jednosmernih i promenljivih napona obavlja se pomoću osciloskopa.

### Pribor, instrumenti i materijal

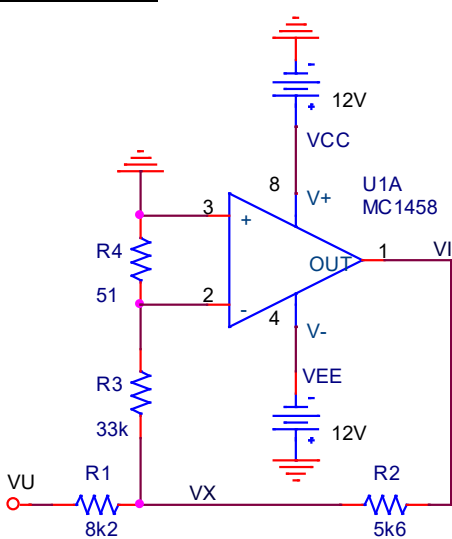
- dve baterije za napajanje od 12V
- osciloskop
- signal generator
- univerzalna radna ploča
- operacioni pojačavač MC1458
- Bipolarni tranzistor BC337×2
- otpornici tolerancije 1% i snage 0,25 W sledećih vrednosti:  $51\Omega$ ,  $100\Omega$ ,  $1\text{k}\Omega \times 2$ ,  $5,6\text{k}\Omega \times 2$ ,  $10\text{k}\Omega \times 2$ ,  $8,2\text{k}\Omega$  i  $33\text{k}\Omega$
- elektrolitski kondenzatori  $10\mu\text{F}/16\text{V}$  i  $100\mu\text{F}/16\text{V}$



Slika 4.1. Raspored priključaka integriranog pojačavača MC1458 i bipolarnog tranzistora BC337.

Na slici 4.1. je prikazana šema sa rasporedom priključaka operacionih pojačavača u integrisanom kolu sa oznakom MC1458. Operacioni pojačavač ima ulazni diferencijalni pojačavač sa NPN tranzistorima. Na istoj slici prikazan je i raspored priključaka bipolarnog tranzistora BC337. Električne karakteristike ovih komponenti date su u prilogu na kraju priručnika.

### ZADATAK



Slika 4.2. kolo za merenje DC pojačanja operacionog pojačavača.

### 1. MERENJE DC NAPONSKOG POJAČANJA OPERACIONOG POJAČAVAČA

Merenje se obavlja pomoću kola prikazanog na slici 4.2. Merenjem napona  $V_I$  i  $V_X$  na niskim učestanostima za dve različite pobude (radi eliminisanja uticaja razdešenosti pojačavača) dobija se da je naponsko pojačanje operacionog pojačavača na niskim učestanostima ( $\omega \rightarrow 0$ )

$$A_0 = \left( 1 + \frac{R_3}{R_4} \right) \left| \frac{\Delta V_I}{\Delta V_X} \right| = 648,06 \left| \frac{\Delta V_I}{\Delta V_X} \right|.$$

#### Postupak pri merenju

1. Na protobordu povezati šemu prema slici 4.2.
2. Ulaz kola kratko spojiti sa pozitivnom baterijom

za napajanje  $V_U = V_{CC} = 12 \text{ V}$ .

3. Osciloskopom podešenim za DC merenja izmeriti napone  $V_X$  i  $V_I$  (Pritisom na tastet **MEASURE** dobija se meni u kome treba podesiti **SOURCE** na merni kanal osciloskopa **CH1** ili **CH2** i **TYPE** na **MEAN**)

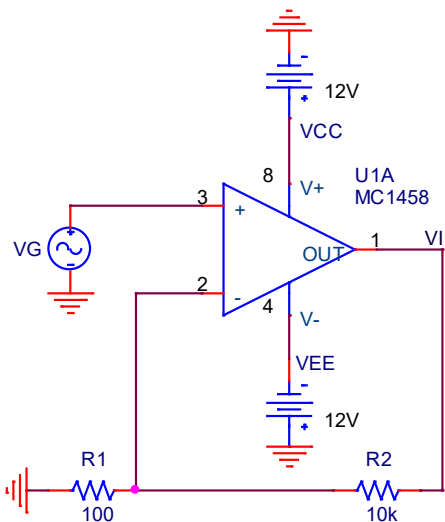
$$V_{X1} = \underline{\hspace{2cm}}, V_{I1} = \underline{\hspace{2cm}}.$$

4. Ulaz kola kratko spojiti sa negativnom baterijom za napajanje  $V_U = V_{EE} = -12 \text{ V}$  i ponoviti tačku 3

$$V_{X2} = \underline{\hspace{2cm}}, V_{I2} = \underline{\hspace{2cm}} \Rightarrow \Delta V_X = V_{X2} - V_{X1} = \underline{\hspace{2cm}},$$

$$\Delta V_I = V_{I2} - V_{I1} = \underline{\hspace{2cm}} \Rightarrow A_0 = 648,06 \left| \frac{\Delta V_I}{\Delta V_X} \right| = \underline{\hspace{2cm}}.$$

## 2. MERENJE PROPUSNOG OPSEGA OPERACIONOG POJAČAVAČA B I UČESTANOSTI JEDINIČNOG POJAČANJA $f_T$



Slika 4.3. Kolo za merenje propusnog opsega i učestanosti jediničnog pojačanja.

Na slici 4.3 je prikazana šema kola koje se koristi pri ovom merenju. Funkcija prenosa operacionog pojačavača sve do učestanosti jediničnog pojačanja može se dobro aproksimirati jednopolnom funkcijom prenosa

$$A_{op}(s) = \frac{A_0}{1 + s/\omega_p}.$$

Funkcija prenosa pojačavača sa slike 4.3 je

$$A(s) = \frac{V_i(s)}{V_g(s)} = \frac{A_{op}(s)}{1 + \beta A_{op}(s)}, \quad \beta = \frac{R_1}{R_1 + R_2} = \frac{1}{101} \Rightarrow \\ A(s) = \frac{A_0}{1 + \beta A_0} \frac{1}{1 + s/\omega_{p1}}, \quad \omega_{p1} = \omega_p (1 + \beta A_0).$$

Pošto je funkcija prenosa jednopolna, gornja granična učestanost jednaka je učestanosti pola

$$f_H = B = f_{p1} = f_p (1 + \beta A_0), \quad f = \omega / 2\pi.$$

Proizvod pojačanja u propusnom opsegu i propusnog opsega predstavlja učestanost jediničnog pojačanja

$$f_T = A_{v0} B = \frac{A_0}{1 + \beta A_0} f_p (1 + \beta A_0) = A_0 f_p.$$

### Postupak pri merenju

10. Na protobordu povezati šemu prema slici 4.3.
11. Na ulaz kola dovesti prostoperiodični napon  $v_g = V_m \sin(2\pi ft)$ ,  $V_m = 10 \text{ mV}$ ,  $f = 1 \text{ kHz}$ .
12. Na osciloskopu postaviti merenje amplitude izlaznog napona  $V_{imp-p}$ . Pritisom na taster **MEASURE** dobija se meni u kome treba podesiti **SOURCE** na merni kanal osciloskopa **CH1** ili **CH2** i **TYPE** na **PK-PK**.

13. Osciloskopom podešenim za AC merenja izmeriti amplitudu izlaznog napona

$$V_{im} = \underline{\hspace{2cm}} \Rightarrow A_{v0} = \frac{V_{im}}{V_m} = \underline{\hspace{2cm}}.$$

14. Ne menjajući amplitudu ulaznog napona povećavati učestanost pobudnog generatora u koracima od po  $100 \text{ Hz}$  i posmatrati amplitudu izlaznog napona. Učestanost pobudnog napona povećavati sve dok se na osciloskopu ne pojavi vrednost amplitude izlaznog

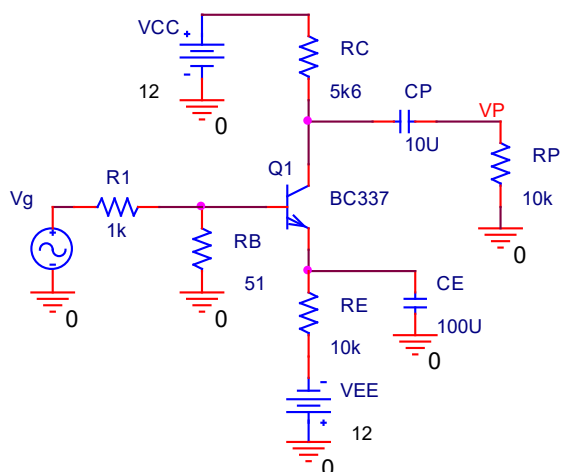
naponu  $\frac{V_{imp-p}(1\text{kHz})}{\sqrt{2}} \approx \frac{2\text{ V}}{\sqrt{2}} = 1,41\text{ V}$ . Zabeležiti vrednost ove učestanosti

$$f_H = B = \underline{\hspace{2cm}} \Rightarrow f_T = A_{v0}B = \underline{\hspace{2cm}}.$$

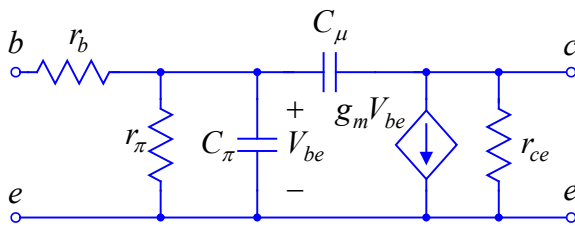
15. Na osnovu izmerenih vrednosti DC pojačanja operacionog pojačavača  $A_0$  i učestanosti  $f_T$  izračunati učestanost pola

$$f_P = f_T / A_0 = \underline{\hspace{2cm}}.$$

### 3. MERENJE PROPUSNOG OPSEGA POJAČAVAČA SA ZAJEDNIČKIM EMITOROM



Slika 4.4. Pojačavač sa zajedničkim emitorom.



Slika 4.5.  $\pi$ -model bipolarnog tranzistora na visokim učestanostima.

Na slici 4.4 je prikazana šema kola koje se koristi pri ovom merenju. Na niskim učestanostima funkcija prenosa ovog pojačavača je

$$A_L(s) = \frac{V_p(s)}{V_g(s)} = A_{po} \frac{s(s + \omega_{ZE})}{(s + \omega_{PE})(s + \omega_{PP})},$$

$$A_{po} \approx -\frac{R_B}{R_B + R_1} g_m (R_C \parallel R_P), \quad \omega_{PP} = \frac{1}{C_P(R_C + R_P)},$$

$$\omega_{ZE} = \frac{1}{C_E R_E}, \quad \omega_{PE} = \frac{1}{C_E \left( R_E \parallel \frac{1}{g_m} \right)}, \quad r_\pi \gg R_B.$$

Na slici 4.5 je prikazan model bipolarnog tranzistora na visokim učestanostima. Učestanost na kojoj koeficijent strujnog pojačanja  $\beta(jf)$  postaje jedan je

$$f_T = \frac{1}{2\pi} \frac{g_m}{C_\pi + C_\mu}.$$

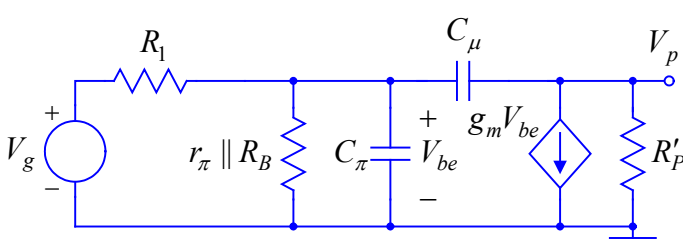
Na visokim učestanostima dominantan uticaj na funkciju prenosa imaju kondenzatori  $C_\pi$  i  $C_\mu$ . Zanemarujući uticaj otpornosti tela baze  $r_b$ , slika 4.6, naponsko pojačanje ovog pojačavača je

$$A_H(s) = \frac{V_p(s)}{V_g(s)} = A_{po} \frac{1 - sC_\mu/g_m}{D(s)},$$

$$D(s) = \left(1 + \frac{s}{\omega_{P1}}\right) \left(1 + \frac{s}{\omega_{P2}}\right) = 1 + s \left(\frac{1}{\omega_{P1}} + \frac{1}{\omega_{P2}}\right) + \frac{s^2}{\omega_{P1}\omega_{P2}}.$$

Obično su učestanosti polova dosta razmaknute, npr.  $\omega_{P2} \gg \omega_{P1}$ , tako da je

$$D(s) \approx 1 + \frac{s}{\omega_{P1}} + \frac{s^2}{\omega_{P1}\omega_{P2}}.$$



Slika 4.6. Šema za male signale pojačavača sa zajedničkim emitorom na visokim učestanostima.

Funkcija prenosa u ovom slučaju je

$$A_H(s) \approx A_{po} \frac{1 - sC_\mu/g_m}{(1 + s/\omega_{P1})(1 + s/\omega_{P2})},$$

$$\omega_{P1} \approx \frac{1}{R'_B(C_\pi + C_\mu(1 + g_m R'_P))},$$

$$R'_B = R_B \parallel r_\pi \parallel R_l, \quad R'_P = R_C \parallel r_{ce} \parallel R_P,$$

$$\omega_{P2} \approx \frac{1}{\omega_{P1}} \frac{1}{C_\mu C_\pi R'_B R'_P} \gg \omega_{P1}.$$

### Postupak pri merenju

1. Na protobordu povezati šemu prema slici 4.4.
2. Na ulaz kola dovesti prostoperiodični napon  $v_g = V_m \sin(2\pi ft)$ ,  $f = 1\text{kHz}$ .
3. Na osciloskopu postaviti merenje amplitude izlaznog napona  $V_{pmp-p}$ . Pritiskom na taster **MEASURE** dobija se meni u kome treba podesiti **SOURCE** na merni kanal osciloskopa **CH1** ili **CH2** i **TYPE** na **PK-PK**.
4. Osciloskop podesiti za AC merenja, a zatim podešavati vrednost amplitute ulaznog napona dok se na potrošaču  $R_P$  ne dobije amplituda  $V_{pmp-p} = 2\text{V}$ .
5. Na osnovu odnosa amplituda napona na potrošaču i ulaznog napona odrediti pojačanje u propusnom opsegu

$$A_{po} = \frac{V_{pmp-p}}{V_{mp-p}} = \underline{\hspace{2cm}}.$$

6. Potom ne menjajući amplitudu ulaznog napona smanjivati frekvenciju pobudnog generatora sve dok amplituda napona na potrošaču ne opadne na vrednost  $\frac{V_{pmp-p}(1\text{kHz})}{\sqrt{2}} \approx \frac{2\text{V}}{\sqrt{2}} = 1,41\text{V}$ . Učestanosti pri kojoj se ovo dešava je donja granična učestanost pojačavača

$$f_L = \underline{\hspace{2cm}}.$$

7. Ne menjajući amplitudu ulaznog napona povećavati učestanost pobudnog generatora i posmatrati amplitudu izlaznog napona. Kako se približavamo gornjoj graničnoj učestanosti, učestanost pobudnog generatora treba povećavati u sve manjim koracima. Učestanost pobudnog napona povećavati sve dok se na osciloskopu ne pojavi vrednost amplitute izlaznog napona  $\frac{V_{pmp-p}(1\text{kHz})}{\sqrt{2}} \approx \frac{2\text{V}}{\sqrt{2}} = 1,41\text{V}$ . Gornja granična učestanost i propusni opseg pojačavača su

$$f_H = \underline{\hspace{2cm}} \text{ i } B = f_H - f_L = \underline{\hspace{2cm}}.$$

## ELEKTRIČNE KARAKTERISTIKE KORIŠĆENIH POLUPROVODNIČKIH KOMPONENTI

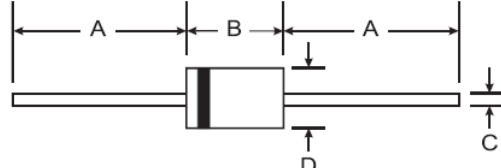


# 1N4148 / 1N4448

FAST SWITCHING DIODE

### Features

- Fast Switching Speed
- General Purpose Rectification
- Silicon Epitaxial Planar Construction
- Lead Free Finish, RoHS Compliant (Note 2)



### Mechanical Data

- Case: DO-35
- Case Material: Molded Plastic. UL Flammability Classification Rating 94V-0
- Moisture Sensitivity: Level 1 per J-STD-020C
- Leads: Solderable per MIL-STD-202, Method 208
- Terminals: Finish — Matte Tin. Solderable per MIL-STD-202, Method 208
- Polarity: Cathode Band
- Marking: Type Number
- Weight: 0.13 grams (approximate)

DO-35		
Dim	Min	Max
A	25.40	—
B	—	4.00
C	—	0.60
D	—	2.00

All Dimensions in mm

### Maximum Ratings @ $T_A = 25^\circ\text{C}$ unless otherwise specified

Characteristic	Symbol	1N4148	1N4448	Unit
Non-Repetitive Peak Reverse Voltage	$V_{RM}$	100		V
Peak Repetitive Reverse Voltage Working Peak Reverse Voltage DC Blocking Voltage	$V_{RRM}$ $V_{RWM}$ $V_R$	75		V
RMS Reverse Voltage	$V_{R(\text{RMS})}$	53		V
Forward Continuous Current (Note 1)	$I_{FM}$	300	500	mA
Average Rectified Output Current (Note 1)	$I_O$	150		mA
Non-Repetitive Peak Forward Surge Current @ $t = 1.0\text{s}$ @ $t = 1.0\mu\text{s}$	$I_{FSM}$	1.0 2.0		A
Power Dissipation (Note 1) Derate Above $25^\circ\text{C}$	$P_d$	500 1.68		mW mW/ $^\circ\text{C}$
Thermal Resistance, Junction to Ambient Air (Note 1)	$R_{\theta JA}$	300		K/W
Operating and Storage Temperature Range	$T_J, T_{STG}$	-65 to +175		°C

### Electrical Characteristics @ $T_A = 25^\circ\text{C}$ unless otherwise specified

Characteristic	Symbol	Min	Max	Unit	Test Condition
Maximum Forward Voltage 1N4148 1N4448 1N4448	$V_{FM}$	— 0.62 —	1.0 0.72 1.0	V	$I_F = 10\text{mA}$ $I_F = 5.0\text{mA}$ $I_F = 100\text{mA}$
Maximum Peak Reverse Current	$I_{RM}$	—	5.0 50 30 25	$\mu\text{A}$ $\mu\text{A}$ $\mu\text{A}$ $n\text{A}$	$V_R = 75\text{V}$ $V_R = 70\text{V}, T_J = 150^\circ\text{C}$ $V_R = 20\text{V}, T_J = 150^\circ\text{C}$ $V_R = 20\text{V}$
Capacitance	$C_J$	—	4.0	pF	$V_R = 0, f = 1.0\text{MHz}$
Reverse Recovery Time	$t_{rr}$	—	4.0	ns	$I_F = 10\text{mA}$ to $I_R = 1.0\text{mA}$ $V_R = 6.0\text{V}, R_L = 100\Omega$

Notes:

1. Valid provided that device terminals are kept at ambient temperature.

2. RoHS revision 13.2.2003. Glass and High Temperature Solder Exemptions Applied, see EU Directive Annex Notes 5 and 7.



## BC337/338

### Switching and Amplifier Applications

- Suitable for AF-Driver stages and low power output stages
- Complement to BC327/BC328



### NPN Epitaxial Silicon Transistor

**Absolute Maximum Ratings**  $T_a=25^\circ\text{C}$  unless otherwise noted

Symbol	Parameter	Value	Units
$V_{CES}$	Collector-Emitter Voltage : BC337	50	V
	: BC338	30	V
$V_{CEO}$	Collector-Emitter Voltage : BC337	45	V
	: BC338	25	V
$V_{EBO}$	Emitter-Base Voltage	5	V
$I_C$	Collector Current (DC)	800	mA
$P_c$	Collector Power Dissipation	625	mW
$T_J$	Junction Temperature	150	$^\circ\text{C}$
$T_{STG}$	Storage Temperature	-55 ~ 150	$^\circ\text{C}$

**Electrical Characteristics**  $T_a=25^\circ\text{C}$  unless otherwise noted

Symbol	Parameter	Test Condition	Min.	Typ.	Max.	Units
$BV_{CEO}$	Collector-Emitter Breakdown Voltage : BC337	$I_C=10\text{mA}, I_B=0$	45			V
	: BC338		25			V
$BV_{CES}$	Collector-Emitter Breakdown Voltage : BC337	$I_C=0.1\text{mA}, V_{BE}=0$	50			V
	: BC338		30			V
$BV_{EBO}$	Emitter-Base Breakdown Voltage	$I_E=0.1\text{mA}, I_C=0$	5			V
$I_{CES}$	Collector Cut-off Current : BC337	$V_{CE}=45\text{V}, I_B=0$		2	100	nA
	: BC338	$V_{CE}=25\text{V}, I_B=0$		2	100	nA
$h_{FE1}$ $h_{FE2}$	DC Current Gain	$V_{CE}=1\text{V}, I_C=100\text{mA}$ $V_{CE}=1\text{V}, I_C=300\text{mA}$	100		630	
			60			
$V_{CE}$ (sat)	Collector-Emitter Saturation Voltage	$I_C=500\text{mA}, I_B=50\text{mA}$			0.7	V
$V_{BE}$ (on)	Base Emitter On Voltage	$V_{CE}=1\text{V}, I_C=300\text{mA}$			1.2	V
$f_T$	Current Gain Bandwidth Product	$V_{CE}=5\text{V}, I_C=10\text{mA}, f=50\text{MHz}$		100		MHz
$C_{ob}$	Output Capacitance	$V_{CB}=10\text{V}, I_E=0, f=1\text{MHz}$		12		pF

### $h_{FE}$ Classification

Classification	16	25	40
$h_{FE1}$	100 ~ 250	160 ~ 400	250 ~ 630
$h_{FE2}$	60-	100-	170-

## NPN general purpose transistors

BC107; BC108; BC109

## QUICK REFERENCE DATA

SYMBOL	PARAMETER	CONDITIONS	MIN.	MAX.	UNIT
$V_{CBO}$	collector-base voltage BC107 BC108; BC109	open emitter	–	50	V
			–	30	V
$V_{CEO}$	collector-emitter voltage BC107 BC108; BC109	open base	–	45	V
			–	20	V
$I_{CM}$	peak collector current		–	200	mA
$P_{tot}$	total power dissipation	$T_{amb} \leq 25^\circ\text{C}$	–	300	mW
$h_{FE}$	DC current gain BC107 BC108 BC109	$I_C = 2 \text{ mA}; V_{CE} = 5 \text{ V}$	110 110 200	450 800 800	
$f_T$	transition frequency	$I_C = 10 \text{ mA}; V_{CE} = 5 \text{ V}; f = 100 \text{ MHz}$	100	–	MHz

## CHARACTERISTICS

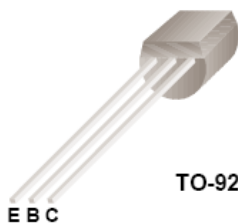
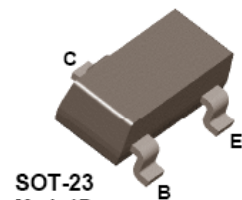
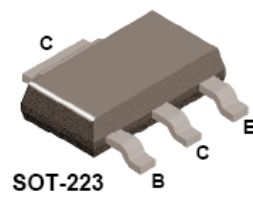
 $T_j = 25^\circ\text{C}$  unless otherwise specified.

SYMBOL	PARAMETER	CONDITIONS	MIN.	TYP.	MAX.	UNIT
$I_{CBO}$	collector cut-off current	$I_E = 0; V_{CB} = 20 \text{ V}$	–	–	15	nA
		$I_E = 0; V_{CB} = 20 \text{ V}; T_j = 150^\circ\text{C}$	–	–	15	$\mu\text{A}$
$I_{EBO}$	emitter cut-off current	$I_C = 0; V_{EB} = 5 \text{ V}$	–	–	50	nA
$h_{FE}$	DC current gain BC107A; BC108A BC107B; BC108B; BC109B BC108C; BC109C	$I_C = 10 \mu\text{A}; V_{CE} = 5 \text{ V}$	– 40 100	90 150 270	–	
$h_{FE}$	DC current gain BC107A; BC108A BC107B; BC108B; BC109B BC108C; BC109C	$I_C = 2 \text{ mA}; V_{CE} = 5 \text{ V}$	110 200 420	180 290 520	220 450 800	
$V_{CEsat}$	collector-emitter saturation voltage	$I_C = 10 \text{ mA}; I_B = 0.5 \text{ mA}$	–	90	250	mV
		$I_C = 100 \text{ mA}; I_B = 5 \text{ mA}$	–	200	600	mV
$V_{BEsat}$	base-emitter saturation voltage	$I_C = 10 \text{ mA}; I_B = 0.5 \text{ mA}; \text{note 1}$	–	700	–	mV
		$I_C = 100 \text{ mA}; I_B = 5 \text{ mA}; \text{note 1}$	–	900	–	mV
$V_{BE}$	base-emitter voltage	$I_C = 2 \text{ mA}; V_{CE} = 5 \text{ V}; \text{note 2}$	550	620	700	mV
		$I_C = 10 \text{ mA}; V_{CE} = 5 \text{ V}; \text{note 2}$	–	–	770	mV
$C_c$	collector capacitance	$I_E = i_e = 0; V_{CB} = 10 \text{ V}; f = 1 \text{ MHz}$	–	2.5	6	pF
$C_e$	emitter capacitance	$I_C = i_c = 0; V_{EB} = 0.5 \text{ V}; f = 1 \text{ MHz}$	–	9	–	pF
$f_T$	transition frequency	$I_C = 10 \text{ mA}; V_{CB} = 5 \text{ V}; f = 100 \text{ MHz}$	100	–	–	MHz
F	noise figure BC109B; BC109C	$I_C = 200 \mu\text{A}; V_{CE} = 5 \text{ V}; R_S = 2 \text{ k}\Omega; f = 30 \text{ Hz to } 15.7 \text{ kHz}$	–	–	4	dB
F	noise figure BC107A; BC108A BC107B; BC108B; BC108C BC109B; BC109C	$I_C = 200 \mu\text{A}; V_{CE} = 5 \text{ V}; R_S = 2 \text{ k}\Omega; f = 1 \text{ kHz}; B = 200 \text{ Hz}$	–	–	10 4	dB

## Notes

1.  $V_{BEsat}$  decreases by about 1.7 mV/K with increasing temperature.2.  $V_{BE}$  decreases by about 2 mV/K with increasing temperature.

Električne karakteristike bipolarnog tranzistora BC 107 (preuzeto sa site-a firme Philips Semiconductors).

**PN2222A****MMBT2222A****PZT2222A****NPN General Purpose Amplifier**

- This device is for use as a medium power amplifier and switch requiring collector currents up to 500mA.
- Sourced from process 19.

**Absolute Maximum Ratings \*  $T_a=25^\circ\text{C}$  unless otherwise noted**

Symbol	Parameter	Value	Units
$V_{CEO}$	Collector-Emitter Voltage	40	V
$V_{CBO}$	Collector-Base Voltage	75	V
$V_{EBO}$	Emitter-Base Voltage	6.0	V
$I_C$	Collector Current	1.0	A
$T_{STG}$	Operating and Storage Junction Temperature Range	- 55 ~ 150	°C

\* These ratings are limiting values above which the serviceability of any semiconductor device may be impaired

**NOTES:**

- These ratings are based on a maximum junction temperature of 150 degrees C.
- These are steady state limits. The factory should be consulted on applications involving pulsed or low duty cycle operations

**Electrical Characteristics  $T_a=25^\circ\text{C}$  unless otherwise noted**

Symbol	Parameter	Test Condition	Min.	Max.	Units
<b>Off Characteristics</b>					
$BV_{(BR)CEO}$	Collector-Emitter Breakdown Voltage *	$I_C = 10\text{mA}, I_B = 0$	40		V
$BV_{(BR)CBO}$	Collector-Base Breakdown Voltage	$I_C = 10\mu\text{A}, I_E = 0$	75		V
$BV_{(BR)EBO}$	Emitter-Base Breakdown Voltage	$I_E = 10\mu\text{A}, I_C = 0$	6.0		V
$I_{CEX}$	Collector Cutoff Current	$V_{CE} = 60\text{V}, V_{EB(\text{off})} = 3.0\text{V}$		10	nA
$I_{CBO}$	Collector Cutoff Current	$V_{CB} = 60\text{V}, I_E = 0$ $V_{CB} = 60\text{V}, I_E = 0, T_a = 125^\circ\text{C}$		0.01	μA
$I_{EBO}$	Emitter Cutoff Current	$V_{EB} = 3.0\text{V}, I_C = 0$		10	μA
$I_{BL}$	Base Cutoff Current	$V_{CE} = 60\text{V}, V_{EB(\text{off})} = 3.0\text{V}$		20	μA
<b>On Characteristics</b>					
$h_{FE}$	DC Current Gain	$I_C = 0.1\text{mA}, V_{CE} = 10\text{V}$	35		
		$I_C = 1.0\text{mA}, V_{CE} = 10\text{V}$	50		
		$I_C = 10\text{mA}, V_{CE} = 10\text{V}$	75		
		$I_C = 10\text{mA}, V_{CE} = 10\text{V}, T_a = -55^\circ\text{C}$	35		
		$I_C = 150\text{mA}, V_{CE} = 10\text{V}^*$	100	300	
		$I_C = 150\text{mA}, V_{CE} = 10\text{V}^*$	50		
		$I_C = 500\text{mA}, V_{CE} = 10\text{V}^*$	40		
$V_{CE(\text{sat})}$	Collector-Emitter Saturation Voltage *	$I_C = 150\text{mA}, V_{CE} = 10\text{V}$		0.3	V
		$I_C = 500\text{mA}, V_{CE} = 10\text{V}$		1.0	V
$V_{BE(\text{sat})}$	Base-Emitter Saturation Voltage *	$I_C = 150\text{mA}, V_{CE} = 10\text{V}$	0.6	1.2	V
		$I_C = 500\text{mA}, V_{CE} = 10\text{V}$		2.0	V

\* Pulse Test: Pulse Width  $\leq 300\mu\text{s}$ , Duty Cycle  $\leq 2.0\%$

## Typical Characteristics

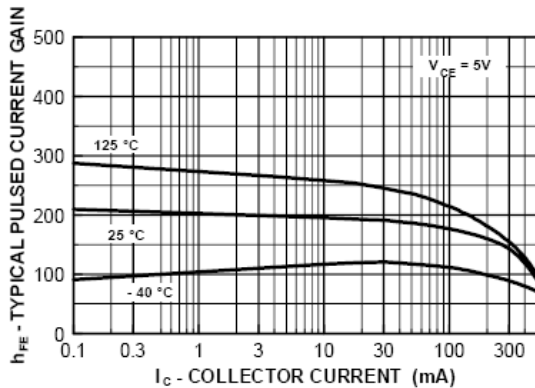


Figure 1. Typical Pulsed Current Gain vs Collector Current

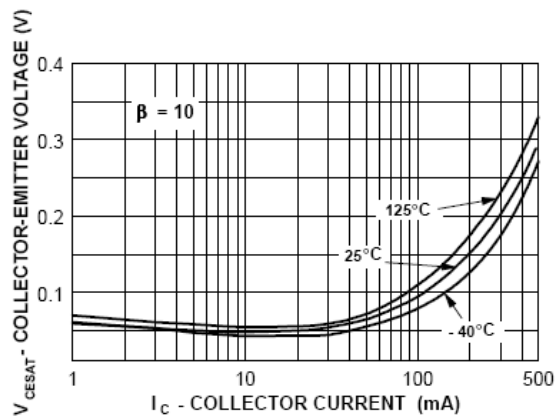


Figure 2. Collector-Emitter Saturation Voltage vs Collector Current

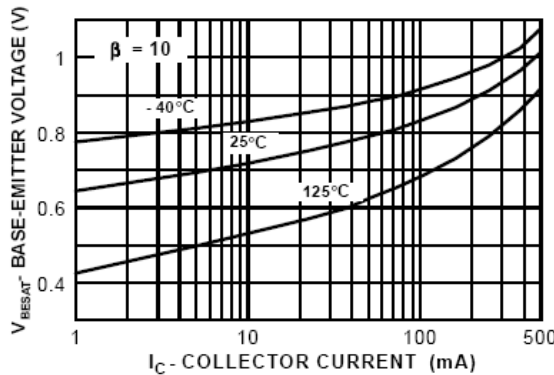


Figure 3. Base-Emitter Saturation Voltage vs Collector Current

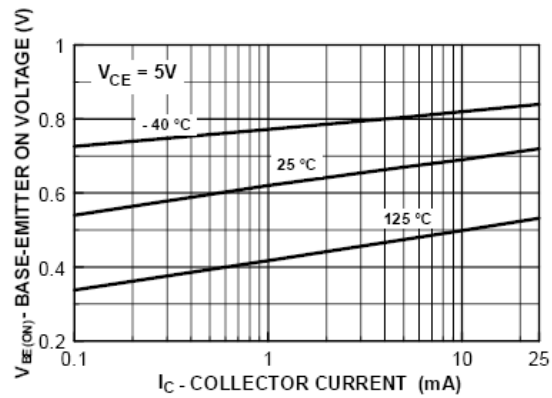


Figure 4. Base-Emitter On Voltage vs Collector Current

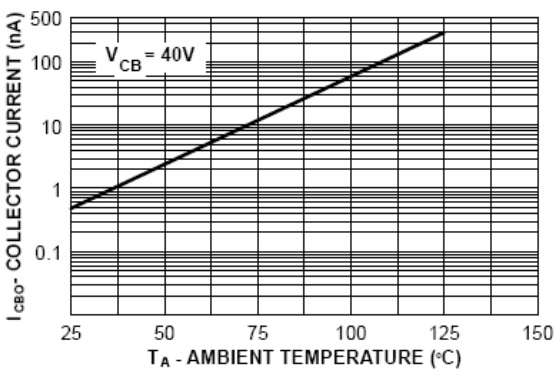


Figure 5. Collector Cutoff Current vs Ambient Temperature

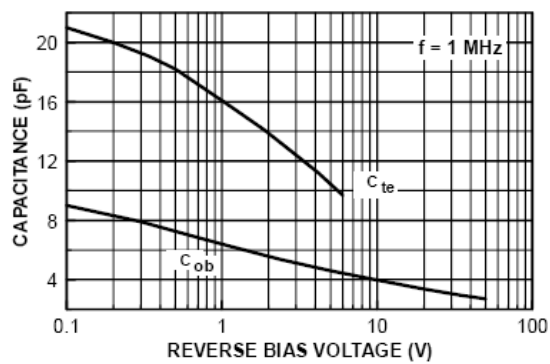


Figure 6. Emitter Transition and Output Capacitance vs Reverse Bias Voltage



MOTOROLA

Order this document by MC1458/D

**MC1458, C**

## **Internally Compensated, High Performance Dual Operational Amplifiers**

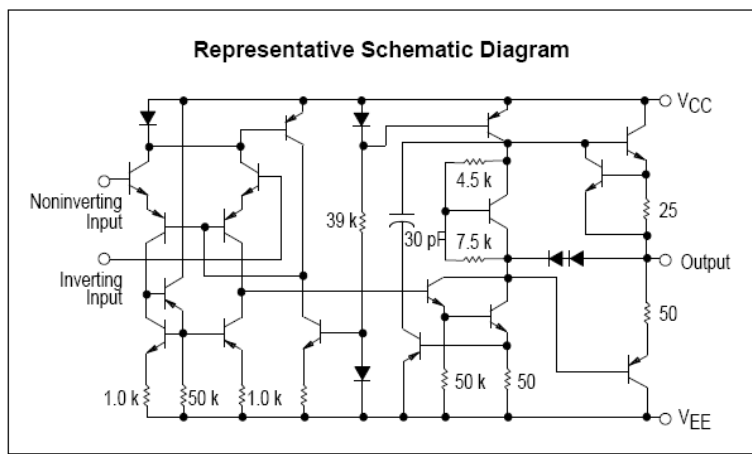
The MC1458, C was designed for use as a summing amplifier, integrator, or amplifier with operating characteristics as a function of the external feedback components.

- No Frequency Compensation Required
- Short Circuit Protection
- Wide Common Mode and Differential Voltage Ranges
- Low Power Consumption
- No Latch-Up

**MAXIMUM RATINGS** ( $T_A = +25^\circ\text{C}$ , unless otherwise noted.)

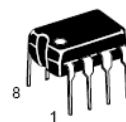
Rating	Symbol	Value	Unit
Power Supply Voltage	$V_{CC}$ $V_{EE}$	$\pm 18$ $-18$	Vdc
Input Differential Voltage	$V_{ID}$	$\pm 30$	V
Input Common Mode Voltage (Note 1)	$V_{ICM}$	$\pm 15$	V
Output Short Circuit Duration (Note 2)	$t_{SC}$	Continuous	
Operating Ambient Temperature Range	$T_A$	0 to $+70$	$^\circ\text{C}$
Storage Temperature Range	$T_{stg}$	-55 to $+125$	$^\circ\text{C}$
Junction Temperature	$T_J$	150	$^\circ\text{C}$

**NOTES:** 1. For supply voltages less than  $\pm 15$  V, the absolute maximum input voltage is equal to the supply voltage.  
 2. Supply voltage equal to or less than 15 V.



### DUAL OPERATIONAL AMPLIFIERS (DUAL MC1741)

#### SEMICONDUCTOR TECHNICAL DATA

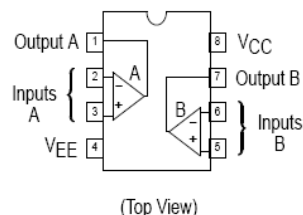


P1 SUFFIX  
PLASTIC PACKAGE  
CASE 626



D SUFFIX  
PLASTIC PACKAGE  
CASE 751  
(SO-8)

#### PIN CONNECTIONS



#### ORDERING INFORMATION

Device	Operating Temperature Range	Package
MC1458CD, D	$T_A = 0^\circ \text{ to } +70^\circ\text{C}$	SO-8
MC1458CP1, P1		Plastic DIP

## LITERATURA

A. S. Sedra and K. C. Smith, Microelectronics Circuits, Fifth Edition, Chapters 2 and 6-9, Oxford University Press, 2004.

S. Marjanović, *Elektronika linearnih kola i sistema*, Glave 1-4 i 11, Akademska misao, Beograd, 2002.

S. LJ. Tešić, D. M. Vasiljević, *Osnovi elektronike*, Glave 10-12 i 15, Građevinska knjiga, Beograd, 2000.

R. Đurić, *Zbirka zadataka iz analogne elektronike*, Glava 1, Grafos internacional, Pančevo, 2004.

Pravila za rad u laboratoriji i Uputstva za instrumente i opremu, <http://tnt.etf.bg.ac.yu>.

Kratko uputstvo za PSPICE, <http://tnt.etf.bg.ac.yu>.

<http://www.tek.com/measurement/scopes/home.html>.

[www.agilent.com/find/33220A](http://www.agilent.com/find/33220A).

**EVIDENCIJA IZRADE LABORATORIJSKIH VEŽBI**

Naziv vežbe	Ime, prezime i broj indeksa	Datum	Ocena	Overa
1. Operacioni pojačavač, integrator i precizni usmerać				
2. Sabirač, diferencijalni i instrumentacioni pojačavač, frekvencijske karakteristike pojačavača				